

сети  
метрам  
иЭ для  
значения  
потока  
у} для  
занных  
нечения  
 $\Phi_{xy}$  и

матриват-  
, то ис-  
том для  
тся опи-  
енная на  
Монте-

ания ТС  
ни могут  
оделиро-  
чений и  
ектируе-

. 1. Ана-  
: Уч. по-  
общ. ред.  
9 с.  
ного мо-  
то макси-  
на / И. В.  
естрация,  
ing, Sto-  
3.

## ИМИТАЦИОННОЕ МОДЕЛИРОВАНИЕ РАСПРЕДЕЛЕННОЙ ОБРАБОТКИ ИНФОРМАЦИИ В МВС

И.В. Максимей, С.Ф. Маслович

Гомельский государственный университет им. Ф.Скорины,  
кафедра математических проблем управления  
ул. Советская, 104, г. Гомель, 246019, Республика Беларусь  
телефон: + (375) 232 604237; e-mail: mpu@gsu.by

В статье приведена формализация вычислительного процесса в сети многопроцессорной вычислительной системы для случая, когда задача распределенной обработки информации представлена в виде вероятностного сетевого графика. Приводится пример обработки этой задачи распределенной задачи с помощью средств имитационного моделирования для оценки влияния режимов обработки информации узлов сети многопроцессорной вычислительной системы на время счета этой задачи.

**Ключевые слова** – вычислительный процесс, многопроцессорная вычислительная система, рабочая нагрузка, распределенная обработка информации.

### 1 ФОРМАЛИЗАЦИЯ ИМИТАЦИОННОГО МОДЕЛИРОВАНИЯ РАСПРЕДЕЛЕННОЙ ОБРАБОТКИ ИНФОРМАЦИИ В СЕТИ МНОГОПРОЦЕССОРНОЙ ВЫЧИСЛИТЕЛЬНОЙ СИСТЕМЫ

Имитационная модель (ИМ) распределенной обработки информации (РОИ) компонуется из двух подмоделей: модель оборудования многопроцессорной вычислительной системы (МВС) и модель рабочей нагрузки (РН) РОИ. Она позволяет отображать во времени запросы РН на ресурсы j-го узла МВС. Назовем уровень отображения расходов ресурсов j-го узла МВС (физическими), а отображение структуры задачи РОИ в МВС (виртуальным). На рисунке 1 представлена структура этой имитационной модели.

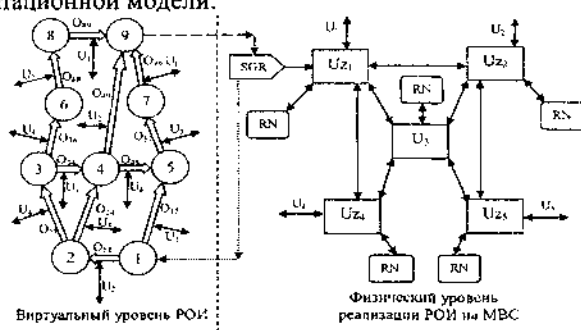


Рис.1. Схема имитационной модели РОИ на МВС

Модель оборудования МВС представляет собой сеть МВС, состоящую из n узлов ( $U_z$ ).

Модель задачи РОИ представим вероятностным сетевым графиком (ВСГР) конструируемых двумя типами элементов:  $SOB_{mj}$  и  $SOB_{nj}$  (номера свершения событий m и n после выполнения запросов ресурсов на j-ом узле МВС).  $O_{mn}$  представляют собой операции события ВСГР инициируемые пользователем узла МВС, выполняемые после свершения m-го события и активизирующие n-е событие, соответствующее очередному модулю использования ресурсов j-го узла. Каждая  $O_{mn}$  является операцией (подзадачей) обработки части общей распределенной задачи в МВС. Фактическое время, затраченное на выполнения  $O_{mn}$  ( $t_{Omn}$ ) определяется как разность между временем прибытия ( $t_{inmn}$ ) и временем отправки ( $t_{outmn}$ ) управляющего транзакта ( $U_j$ ) на узлы МВС, которые в данный момент времени могут обрабатывать иные задачи и поэтому  $U_j$  приходится ожидать в очереди к j-му узлу длительностью ( $t_{ожmn}$ ). Таким образом, время обработки h-той реализации  $O_{mn}$  на узле МВС определяется как  $t_{Omn} = t_{inmn} - t_{outmn}$ . Времена выполнения  $O_{mn}$  ( $t_{Omn}$ ) являются случайными величинами из-за случайного характера обработки информации на узлах различного класса собственных задач в МВС. Поэтому, для определения среднего времени выполнения  $O_{mn}$  необходимо использование метода Монте-Карло [1].

### 2 РЕШЕНИЕ ЗДАЧИ ПО ОЦЕНКЕ ВЛИЯНИЯ РЕЖИМОВ ОБРАБОТКИ ИНФОРМАЦИИ ВП В МВС НА ВРЕМЯ СЧЕТА РАСПРЕДЕЛЕННОЙ ЗАДАЧИ

Для решения этой задачи используется разработанная ИМ «РОИ МВС» [2]. В качестве основных вариантов организации вычислительного процесса (ВП) в МВС рассматривались: организация ВП при большей приоритетности диалоговых задач над задачами РОИ при варьировании параметров ИМ.

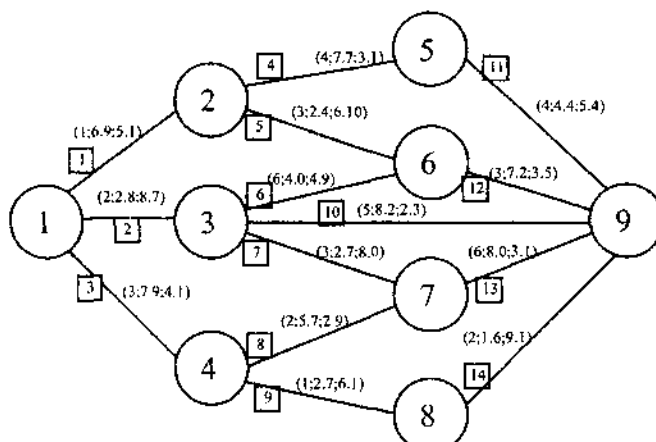
Решение задачи осуществлялось в два этапа. На этапе I производился запуск ИМ «РОИ МВС» в «без нагрузки» режиме при отсутствии нагрузки на узлах задач диалогового и счетного типов ( $\lambda_{DIALj}=0$ ;  $\lambda_{OTLj}=0$ ). Фиксировалось значения счета каждой из j-ой подзадачи i-ой задачи РОИ ( $t_{Oij}$ ). На основании полученных значений времен счета подзадач ( $t_{Oij}$ ) определялись последовательность вершин критического пути, его длина ВСГР. Наличие режима «без нагрузки» необходимо для дальнейшего сравнения

значений счета подзадач РОИ в «нагруженном» режиме – наличие нагрузки на узлах задачи диалогового и счетного типов, что реализуется на этапе 2.

Этап 2 по сравнению с предыдущим этапом характеризуется наличием следующих дополнительных условий:

1) наличие собственной нагрузки на узлах сети МВС ( $\lambda_{диал} > 0$ ;  $\lambda_{счет} > 0$ );

2) применение процедуры Монте-Карло с многократными реализациами имитационных экспериментов (ИЭ) ( $N=30$ ). После каждой из реализаций при одинаковых и тех же значениях входных параметров ИМ проводились операции по подсчету значений каждой из  $j$ -ой подзадачи  $i$ -ой задачи РОИ ( $\tau_{0ij}$ ), для которой вычислялись математическое ожидание ( $\bar{\tau}_{0ij}$ ) и дисперсия ( $\sigma_{0ij}$ ). Оценка времени счета распределенных подзадач РОИ. Решение данной задачи реализуется согласно ранее описанным этапам. Для задачи РОИ, структура которой определяется сетевым графиком, представленным на рисунке 2.



□ – номер подзадачи РОИ

( $t_{0ij}, t_{CPU}, t_{HDD}$ ) – значения ( $i$  – номер узла счета;  $t_{CPU}$  – заказ времени CPU;  $t_{HDD}$  – заказ времени HDD)

Рис.2. Сетевой график задачи РОИ

В результате реализации этапа 1 были получены значения времен выполнения подзадач РОИ ( $\tau_{0ij}$ ) на узлах сети МВС. В режиме «без нагрузки» существует только один критический путь. Данный результат обуславливается тем, что в процессе обработки подзадач РОИ на узлах МВС конкуренцию им могут составлять только сами подзадачи РОИ. Однако последовательность их выполнения определяется сетевым графиком, который реализуется на множестве узлов – одновременных исполнителей.

На этапе 2 были получены значения времен выполнения подзадач РОИ ( $\tau_{0ij}$ ) для каждой  $h$ -ой реализации ИМ ( $h=1, \dots, 30$ ). По этим данных были рассчитаны множества критических путей  $T_{krit}$ . Причем, среди них существует множество совпадающих друг с другом. Таким образом, среди всевозможных путей (в рассматриваемом примере всего их было ровно 7) можно выделить  $k=1, \dots, 6$ , которые, по крайней мере, в единичном случае являлись критическими. Соответственно существовала возможность

подсчета вероятностей возникновения того или иного критического пути.

В таблице 1 представлены типы критических путей, вероятности их появления, а также значения длин этих критических путей на ВСГР задачи РОИ.

На рисунке 3 представлена диаграмма нормированных длин (времен) критических путей ( $\bar{T}_{krit}$ ).

ТАБЛИЦА 1  
ВЕРОЯТНОСТИ ПОЯВЛЕНИЯ И ЗНАЧЕНИЯ ДЛИН  
РАЗЛИЧНЫХ ТИПОВ КРИТИЧЕСКИХ ПУТЕЙ

Тип критического пути	$P_k$	$\bar{T}_k$
1 (1-2-5-9)	0,33	109,03
2 (1-2-6-9)	0,03	118,83
3 (1-3-6-9)	0,20	109,64
4 (1-3-7-9)	0,10	99,51
5 (1-4-7-9)	0,27	102,69
6 (1-4-8-9)	0,07	138,79
режим «без нагрузки»	1	33,3

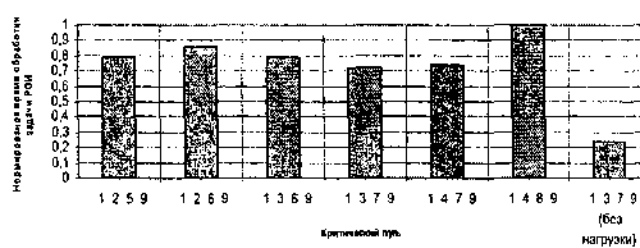


Рис.3. Диаграмма времен критических путей.

Как видно из таблицы 1, наиболее вероятностным критическим путем среди остальных является критический путь первого типа ( $k=1$ ) с вероятностью появления равной 0,33 и длиной ( $\bar{T}_{krit_1}$ ) и в 3,27 раз больше длины критического пути режима «без нагрузки» работы ИМ ( $\bar{T}_{krit_0}$ ). Наличие на узлах МВС собственной рабочей нагрузки вносит неопределенность времени обработки подзадач РОИ ( $\tau_{0ij}$ ), а следовательно возрастает и неопределенность формирования последовательности вершин ( $L_k$ ) и длин ( $\bar{T}_{krit_k}$ ) критических путей. Поэтому исследование такого рода задач возможно только с помощью методов имитационного моделирования.

## ЛИТЕРАТУРА

- [1] Соболь, И.М. Метод Монте-Карло / И.М. Соболь. Москва: «Наука», 1978. – 64 с.
- [2] Максимей, И.В. Имитация распределенной обработки информации в вычислительных системах и локальных вычислительных сетях / И.В. Максимей [и др.] // Реєстрація, зберігання і обробка даних. – 2005. – №1. – С. 70–79.